дизничи и по транрапры при при тризь ведечитер известия академии наукармянской сср

Зъпрем-бирьбит. срипсропоббыт XVII, № 4, 1964 Физико-математические науки

АСТРОФИЗИКА

И. Д. Караченцев

Несколько морфологических характеристик скоплений галактик в Геркулесе

После работы Эйбелла [1] стало известно, что многочисленные группы и скопления галактик в Геркулесе образуют единую физическую систему—сверхскопление.

На южном конце этой сверхсистемы находится неправильное скопление ($a=16^h$ 02^m9 , $\delta=+17^\circ$ 54'), недавно изученное Бэрбиджами [2]; в каталоге Эйбелла оно имеет номер 2151. По 15 галактикам средняя лучевая скорость скопления равна $10775\frac{\kappa M}{ce\kappa}$ с дисперсией

радиальных скоростей $631 \, \frac{\kappa_M}{ce\kappa}$. Бэрбиджи полагают, что скопление вестабильно и распадается.

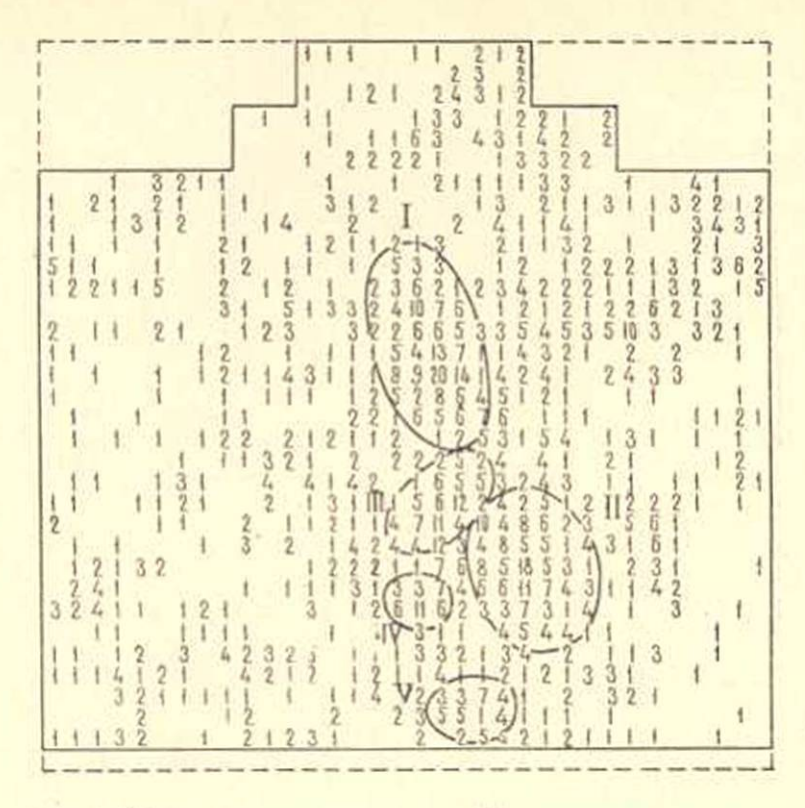
Скопление Abell 2151 и окружающая его область неба изучались нами следующим способом. На карте Паломарского атласа, центр которой приблизительно соответствовал центру скопления, определялись координаты, угловые размеры и типы галактик до 18,^{то}1. На этой площади (около 32 квадратных градусов) обнаружено 474 галактики ярче 16,^{то}6 и 1580 галактик ярче 18,^{то}1. Усредненные результаты подсчетов приведены на фиг. 1 и 2.

Анализ днаграммы распределення галактик показывает, что в этой области имеется не одно, а, по крайней мере, пять скоплений. В центре каждого скопления находятся пары или цепочки галактик, окутанные светящейся материей. Скопления отличаются друг от друга степенью концентрации и типом населения.

Вэрбиджами изучено скопление 1. Для скоплений II и III известны только средние лучевые скорости: $V_{II} = 12500 \frac{\kappa M}{ce\kappa}$, $V_{III} = 11700 \frac{\kappa M}{ce\kappa}$. Номера II и III по каталогу Эйбелла соответственно 2147 и 2152.

Займемся подробнее скоплением Геркулес 1. Распределение плотности числа галактик и изменение их средней звездной величины илоль раднуса скопления приведены в табл. 1. Звездные величины галактик оценивались по эмпирической зависимости $m \sim \lg d$.

Из табл. 1 видно, что распределение плотности вдоль радиуса (усредненное по азимуту) довольно регулярное. Сегрегация ярких и



Фиг. 1. Распределение газактик ярче 18, 1. Контуры Паломарской карты обведены пунктиром. Арабские цифры обозначают числа галактик в квадратах со стороной 11',2, римские—номера скоплевий.

			Таблица 1		
r	N_r	N	monul		
0'-5' 5-10 10-15 15-20 20-25 25-30 30-35 35-40 40-45 45-50	15 28 21 27 25 30 29 34 19 27	690 420 193 175 128 126 102 104 42 65	15 ^m 82 16,20 16,04 16,04 16,48 16,32 16,32 16,48 16,83 16,66		

 г-раднус кольцевой зоны минутах дуги,

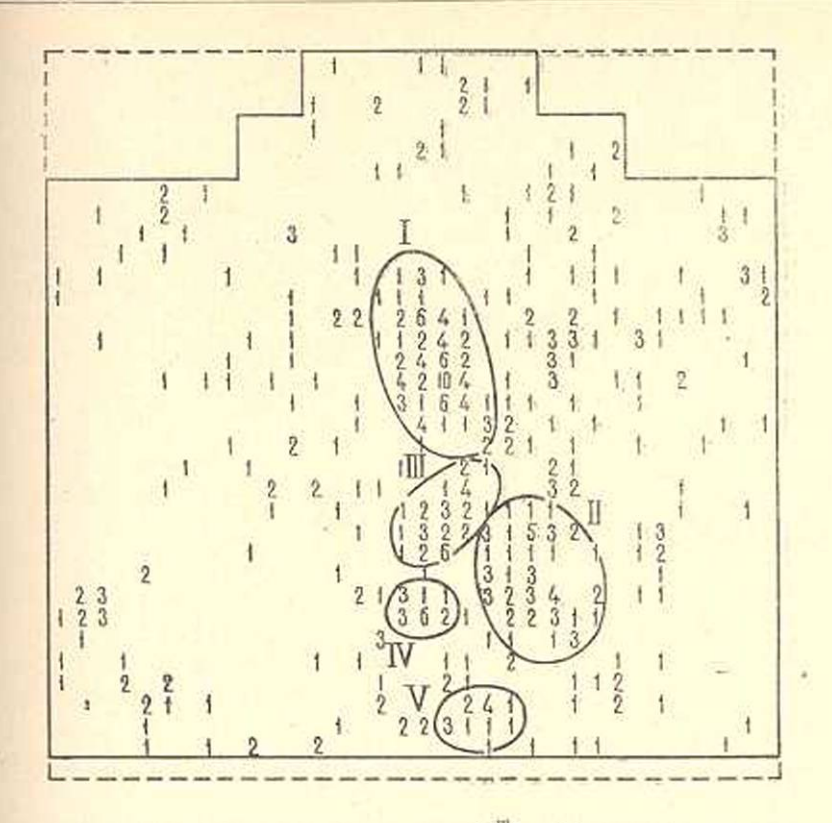
 N_r —число галактик в зоне ярче 18^m1 .

 №—число гадактик на квадратный градус,

талактик зоны.

слабых гадактик выражена отчетливо. Последний факт противоречит утверждению Цвикки [3], будто бы сегрегация имеет место только в правильных сферических скоплениях, а в неправильных она едва заметна, (Сегрегации приписывался большой динамико-эволюционный смысл: она служила указанием на степень стацнонарности скопления).

Оценим массу и светимость Геркулеса 1. Интегральная светимость скопления вычислялась по зависимости $m \sim \lg d$, прокалиброванной галактиками фона с известными звездными величинами. С учетом галактического (0, 34) и межгалактического (0, 31) ослабления света суммарная светимость скопления равна 1,8·10¹²L_☉.



фиг. 2. Распределение галактик ярче 16, 6. Обозначения те же, что и на фиг. 1.

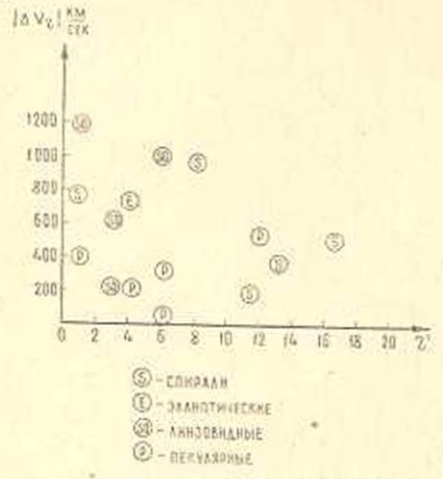
Массу скопления можно оценить на основании теоремы вириаларазными способами: по подсчетам галактик в кольцевых зонах, приведенным в табл. 1, (это дает нижний предел массы), по подсчетам галактик в параллельных полосах [4] (верхний предел массы). Соответствующие расчеты дали в первом случае $M = 9,45 \cdot 10^{14} M_{\odot}$, а вовтором $-1.07 \cdot 10^{15} M_{\odot}$. Среднее значение равно $(1.00 \mp 0.06) \cdot 10^{15} M_{\odot}$. Для отношения массы к светимости имеем $556 \frac{M_{\odot}}{L_{\odot}}$. Эта оценка, превышающая нормальное значение в десятки раз, подтверждает вывод Бэрбиджей о нестабильности скопления.

Если скопление расширяется, то с удалением от центра дисперсия лучевых скоростей должна уменьшаться из-за эффекта проекции. На фиг. З приведены для 15 галактик лучевые скорости и расстояния от центра. Как видно из рисунка, ожидаемый эффект действительноимеет место.

Заметим, что у пекулярных галактик дисперсия скоростей сравнительно невелика. Если для E, SO и S дисперсия равна $730 \frac{\kappa M}{ce\kappa}$, то для пекулярных—всего $(300 \mp 140) \frac{\kappa M}{ce\kappa}$. Такая же закономер-

ность обнаружена и в других скоплениях: Coma, Virgo, Corona Borealis.

С точки зрения расширяющегося скопления становится понятной сегрегация ярких и слабых галактик. В процессе совместного образования менее массивные галактики получают большую скорость и удаляются на большие расстояния, чем яркие. Это же подтверждает



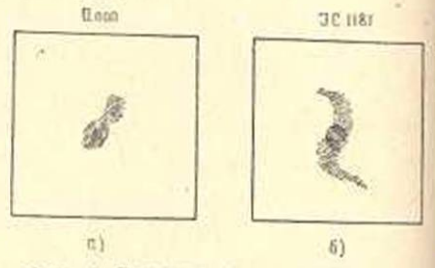
Фиг. 3. Зависимость дисперсии скоростей галактик от расстояния от центра скопления.

корреляционная зависимость между ΔV_r и угловым размером галактик. Коэффициент корреляции получился равным—0,15. Для пространственной скорости корреляция должна быть более тесной.

Любопытво отметить, что в скоплениях I—V физические пары и цепочки галактик ориентированы вдоль направления север—юг. Ориентацию пары можно характеризовать направлением отрезка прямой, соединяющей центры галактик. В исследованной области обнаружено 20 пар (цепочки из трех компонент расматривались как три пары). Позиционные углы р для них имеют сле-

дующие значения: -19° , $+30^\circ$, $+47^\circ-7^\circ$, $+28^\circ$, -5° , -26° , -14° , $+21^\circ$, -23° , $+42^\circ$, $+60^\circ$, -55° , -55° , -55° , $+22^\circ$, -42° , -4° , -60° , $+40^\circ$. Не замечено ни одной физической пары с $p=60^\circ-90^\circ$. Вероятность того, что при случайном расположении ни у одной пары нет $p>60^\circ$, составляет ничтожную величину: $3\cdot 10^{-4}$. Средний позиционный угол пар равен -3° ,7. Система скоплений тоже вытянута в направлении север-юг ($p=-10^\circ$). Общая морфологическая характеристика еще ряз подтверждает физическую связь скоплений Геркулес I-V.

Наличие общей "атмосферы" и "хвостов" у галактик в парах и цепочках указывает на молодость этих объектов. Интересно, что, как правило, галактики в парах располагаются друг относительно друга не произвольным образом, а так, как изображено на фиг. 4. Из 20 пар 8 образуют орнентацию типа а), 3-типа б), в 5 парах одна из галактик сферическая, а другая направлена как в а) или б) и только в четырех



Фиг. 4. Расположение галактик в физических парах: а) продольная ориентация, б) поперечная ориентация.

парах расположение произвольное. Хорошим примером может служить система JC 1181. Приливным действием такую ориентацию объяснить невозможно. Проще всего предположить, что галактики пары

возникли (разделились) недавно и не успели совершить нескольких оборотов вокруг своих осей.

Скопления I—V состоят из различного населения. Как следует из табл. 2, в Геркулесе I преобладают спирали, а в системах II—V—
Е и SO галактики. Процент пекулярных галактик в каждом скоплении превышает среднее значение для фона в несколько раз.

Таблица 2

Морфологическая характе-	Скопдение						
ристика	1	11	Ш	IV	V	Фон	
Процент спиралей и неправиль- ных ярче 18 ^m 1.	30	9	8	6	17	22	
Процент спиралей и неправиль- ных ярче 16, ^т 6.	53	25	11-	10	28	25	
Процент пекулярных ярче 18,11.	11	9	6	6	2	2	
Процент пекулярных ярче 16, ^т 6.	24	14	11	10	7	3	
Интегральная светимость в $10^{12}L_{\bigodot}$.	1,8	1,2	0,7	0,4	0,4		

По Эйбеллу следует, что сверхсистема в Геркулесе простирается примерно на 27°. Скопления образуют в первом приближении одномерную структуру, похожую на цепочку. Лучевые скорости монотонно возрастают от северного конца к южному. Перепад скоростей со-

ставляет $3500 \frac{\kappa M}{ce\kappa}$. По закону Хаббла этому соответствует протя-

женность системы вдоль луча зрения на 47 мпс. Рассмотрение Паломарских карт показывает, что цепочка скоплений прослеживается дальше, чем у Эйбелла. Отсутствие данных о лучевых скоростях делает этот вывод всего лишь предположением. Однако, очень веромятно, что тройная система Цвикки (фиг. 5) с координатами α=16°48°2,

 $t = +45^{\circ}33'$ и $V = 9608 \frac{\kappa M}{ce\kappa}$ является членом сверхсистемы (триплет

Цвики тоже вытянут в направлении север-юг).

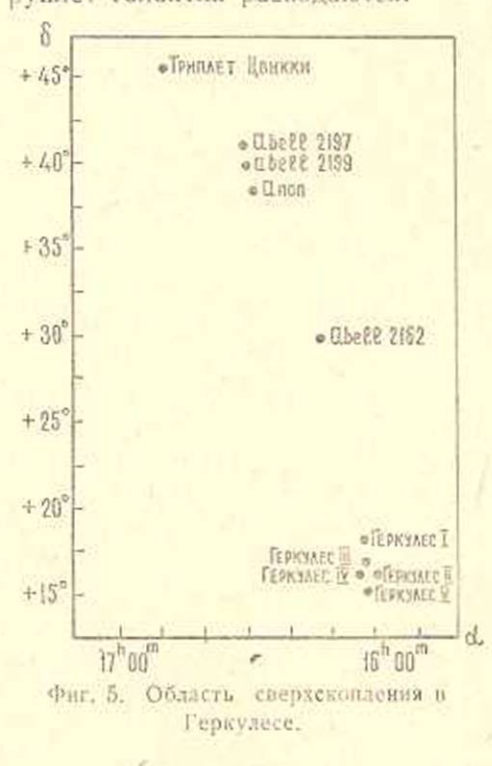
На северном конце цепочки расположено скопление Abell 2199. Для 22 галактик этого скопления Минковский измерил лучевые скорости. Средняя лучевая скорость равна 9048 $\frac{\kappa_M}{ce\kappa}$ с дисперсией

 $842 \, \frac{\kappa_M}{ce\kappa}$. Анализ скопления на Паломарской карте показывает, что

в нем содержится 16 галактик ярче 15° 1, 47 галактик ярче 16° 6 и 180 галактик ярче 18° 1. Интегральная светимость скопления составляет $2.0 \cdot 10^{18} L_{\odot}$. Подсчеты галактик в кольцевых зонах дают для массы величину $1,25 \cdot 10^{15} M_{\odot}$. Расчет по методу Амбарцумяна приводит к в Известия АН, серия фил. мат. наук. № 4

значению 1,77 · $10^{15}M_{\odot}$. Для среднего из двух оценок имеем 1,51 · $10^{18}M_{\odot}$. Тогда отношение массы к светимости равно 755 $\frac{M_{\odot}}{L_{\odot}}$ ·

В центре скопления находится радиогалактика NGC 6166, состоящая из четырех компонент. Для трех из них по данным Минковского дисперсия скоростей равняется $880 \frac{\kappa_M}{ce\kappa}$. Светимость системы $1.3 \cdot 10^{11} L_{\odot}$. Применяя теорему вириала, получаем $\frac{M}{L} = 168$. Высокие значения $\frac{M}{L}$ указывают на то, что и скопление, и центральный квальруплет галактик распадаются.



Примечателен следующий факт. Лучевая скорость радиоталактики отличается от средней для скопления всего на 34 $\frac{\kappa_M}{ce\kappa}$.

В аналогичном случае для радиогалактики в скоплении Персех разность скоростей — $8\frac{\kappa M}{ce\kappa}$. Цен-

тральное положение, аномальная яркость по сравнению с другия членами скопления и отсутстви (в пределах ошибок измерений пекулярной скорости у радиогаляютик являются аргументами и пользу взглядов Амбарцумяна ы космогенетическую активность этих объектов.

Является ли система скоплений в Геркулесе устойчивым обрязованием? В картинной плоскости система простирается вы

80 мпс. Общая светимость скоплений, нанесенных на фиг. 5, разви 7,5·10¹²L_☉. Повидимому, еще столько же приходится на группы в небольшие скопления, не учтенные нами. Полной светимости системы можно приписать значение 1,5·10¹³L_☉. Применение теоремы вириам к системе скоплений в целом дает огромную массу: 1,9·10¹⁶M_☉. Такия образом, отношение массы к светимости получается равным 1270. Это заставляет ответить на поставленный вопрос отрицательно.

Как уже отмечалось, у скоплений I—V различный состав населения. Подскопления в неправильном скоплении Девы тоже имеют такую особенность [6]. Скопления I—V можно называть и подскоплениями, так как они значительно проникают друг в друга. Видим

между этими двумя категориями не существует отчетливой границы. Наличие подскоплений в Деве, в Волосах Вероники [7], тенденши скоплений к скучиванию [1] и положительный знак энергии в сверхсистеме Геркулеса подсказывают следующую мысль: в результате удаления подскоплений друг от друга и возрастания их населенности за счет процессов деления ядер галактик, постепенно возникает сверхскопление (то есть тесная система скоплений), после чего, разделющись, отдельные скопления выходят на зависимость Хаббла в лет.

Автор благодарен академику Амбарцумяну за постоянное внимяние к работе и обсуждение полученных результатов.

Бораканская астрофизическая обсерватория АН Армянской ССР

Поступила 17 XII 1963

ի. Դ. կաբայենցև

ՀԵՐՔՈՒԼԵՍՈՒՄ ԳԱԼԱԿՏԻԿԱՆԵՐԻ ԿՈՒՏԱԿՈՒՄՆԵՐԻ ՄԻ ՔԱՆԻ ՄՈՐՖՈԼՈԳԻԱԿԱՆ ԲՆՈՒԹԱԳՐԵՐ

UUDAAAAAU

Պալոմարի ատլասի քարտեզների վրա Հերքուլեսի դերաստղակույտի տիթույթում որոշվել են մինչև 18.1 դալակտիկաների անկյունային տրամագժերը Հղասերը։

հրկու աստղակույտի համար, որոնց դալակտիկաների արտգությունների դիսպերսիաները հայտնի են, հաշվված են դանդվածները և լուսատվություննեյր։ Ամրողջ դերաստղակույտի համար կիրառված է Վերիալի Թեորեման։

Հանդված լուսատվունյան հարաբերունյան բարձր արժեքները նշան են առանձին կույտնրի, և ամբողջ դերաստղակույտի անկայունունյան։ Բերված և այդ սիստեմների անկայունունյունը հաստատող այլ փաստարկներ։ նկատված է ուղղվածունյուն և՛ դալակտիկաների ֆիզիկական զույգերի կողմնորոշ-ժահ մեջ և՛ ղույգերի նհրսում դալակտիկաների տեղավորման մեջ։

ЛИТЕРАТУРА

- 1. Abell G. Q. Evidence regarding second-order clustering of galaxies and interactions between clusters of galaxies. A. J., 66, № 10, 1961, 607.
- Burbidge G. and Burbidge Marg E. The Hercules cluster of nebulae. Ap. J., 130, No 2, 1959, 629.
- Zwicky F. Morphological Astronomy, Berlin, Springer, 1957.
- Амбардумян В. А. О гравитационной потенциальной энергии открытых скоплений. ДАН СССР, 24, 1939, 875.
- 5 Minkowski R. NGC 6166 and the cluster Abell 2199. A. J., 66, No. 10, 1961, 558.
- Vausouleurs G. Structure of the Virgo cluster of galaxies. Ap. J., Suppl. series, 6, 38 59, 1961, 213.
- Т. Караченцев И. О нестабильности сферического скопления голактик в Coma. Известия АН АрмССР, серия физ.-мат. наук, 17, № 3, 1964.